

07

## Угловой момент импульса полей маломодового волокна: I. Возмущенный оптический вихрь

© А.В. Воляр, Т.А. Фадеева

Симферопольский государственный университет

Поступило в Редакцию 25 марта 1997 г.

Приведены результаты исследований физической природы электродинамического момента импульса устойчивого  $CV_{+1}^+$  вихря в маломодовом волокне. Показано, что угловой момент импульса  $CV_{+1}^+$  вихря можно условно разделить на орбитальный и спиновый моменты.

Продольная компонента основной  $HE_{11}^+$  моды на оси волокна имеет чисто винтовую дислокацию с топологическим зарядом  $e = +1$ . Продольная компонента  $CV_{+1}^+$  вихря также на оси волокна имеет чисто винтовую дислокацию с топологическим зарядом  $l = +2$ . Поэтому возмущение  $CV_{+1}^+$  вихря полем основной  $HE_{11}^+$  моды приводит к снятию вырождения чисто винтовых дислокаций продольной и поперечной компонент поля и нарушению структурной устойчивости  $CV_{+1}^+$  вихря. В результате этого индуцируется дополнительный азимутальный поток энергии с угловым моментом, противоположным моменту основного потока. Приводится аналогия линий тока возмущенного  $CV$  вихря с линиями тока вязкой жидкости, обтекающей вращающийся цилиндр. Исследования эволюции  $CV$  вихрей в параболическом волокне показали их структурную устойчивость под действием возмущающего поля  $HE_{11}^+$  моды. Однако возмущение  $CV_{+1}^+$  вихря ступенчатого волокна полем  $HE_{11}^+$  моды нарушает структурную устойчивость вихря.

Найдено, что распространение циркулярно поляризованного  $CV$  вихря представляется как ввинчивание геликоидального волнового фронта в среду волокна. Распространение линейно поляризованного вихря свободного пространства характеризуется поступательным перемещением (без вращения) геликоидального волнового фронта.

Физическая природа оптических вихрей в маломодовых волокнах неразрывно связана с азимутальными потоками энергии этих полей, а следовательно с моментом импульса волнового поля. В общих чертах проблема момента импульса  $\mathbf{M}$  электромагнитного поля на квантовом

уровне была затронута еще в работах [1,2]. Однако интерес к этому явлению возрос только в последние годы в связи с изучением свойств оптических вихрей в свободном пространстве [3] с целью их использования в оптических ловушках микрочастиц и оптических пинцетах [4].

На наш взгляд, проблема переноса углового момента импульса в оптических волокнах имеет два аспекта: 1) электродинамическую задачу формирования и преобразования момента импульса световых волн волокна; 2) квантово-механическую задачу трансформации момента импульса направляемых полей волокна в механический угловой момент микрочастиц [5].

В настоящей работе мы рассмотрим только первую часть этой проблемы: свойства углового момента импульса поля устойчивого CV вихря в маломодовом волокне при его возмущении циркулярно поляризованным полем HE<sub>11</sub> моды.

1. Обычно при возбуждении устойчивого CV<sub>+1</sub><sup>+</sup> вихря в маломодовом волокне [6] одновременно возбуждается правоциркулярно поляризованная HE<sub>11</sub><sup>+</sup> мода. Поле этой моды возмущает поле вихря и изменяет локализацию чисто винтовых дислокаций. В отличие от полей в свободном пространстве CV вихрь и HE<sub>11</sub> мода содержат продольные компоненты электрического  $\mathbf{E}_z$  и магнитного  $\mathbf{H}_z$  полей. Причем  $\mathbf{E}_z$  и  $\mathbf{H}_z$  компоненты этих полей на оси волокна ( $R = 0$ ) имеют чисто винтовые дислокации. Поэтому процесс возмущения CV вихря HE<sub>11</sub> модой сводится к изучению взаимодействия сингулярностей поперечных и продольных полей. Пусть в оптическом волокне возбуждаются правоциркулярно поляризованные CV<sub>+1</sub><sup>+</sup> вихрь с топологическим зарядом  $e = 1$  и HE<sub>11</sub><sup>+</sup> мода. Выражения для электрического поля  $\mathbf{e}$ , можно записать в виде [7,8]:

$$\mathbf{e} = \mathbf{e}(\text{CV}_{+1}^+) + a\mathbf{e}(\text{HE}_{11}^+):$$

$$\mathbf{e}_r = \hat{e}^+ \left( F_1(R) \exp \{i(\phi + \beta_1^1 z)\} + aE_0(R) \exp \{i\beta_0 z\} \right), \quad (1)$$

$$\mathbf{e}_z = i \frac{\sqrt{2\Delta}}{V} \left( G_1^-(R) \exp \{i(2\phi + \beta_1^1 z)\} + aG_0(R) \exp \{i(\phi + \beta_0 z)\} \right), \quad (2)$$

где  $a$  — относительный вес HE<sub>11</sub> моды,  $\hat{e}^+$  — орт правоциркулярной поляризации,  $F_1(R)$  и  $F_0(R)$  — радиальные функции поперечных полей [7],  $\beta_1^1$ ,  $\beta_0$  — постоянные распространения CV<sub>+1</sub><sup>+</sup> и HE<sub>11</sub><sup>+</sup> полей соответственно.

Из выражения (2) следует, что  $\mathbf{e}_z$  компонента  $CV_{+1}^+$  вихря переносит топологический заряд  $e = +2$ , а  $HE_{11}^+$  моды — топологический заряд  $e = +1$ . Положение нулей  $\mathbf{e}_t$  и  $e_z$  полей определим из условия [9]  $\text{Re}(\mathbf{e}) = \text{Im}(\mathbf{e}) = 0$ . Для полей (1) и (2) азимутальные координаты положения чисто винтовых дислокаций  $e_t$  и  $e_z$  полей одинаковы и равны

$$\phi = \pi + (\beta_0 - \beta_1)z. \quad (3)$$

Радиальные координаты этих дислокаций различны и являются решением уравнений

$$F_1(R) - aF_0(R) = 0, \quad (4)$$

$$G_1^-(R) - aG_0(R) = 0. \quad (5)$$

Из (3)–(5) следует, что дислокации поля лежат на окружностях с радиусами  $R_0 = 0$ ,  $R_1$  и  $R_2$  и вращаются со скоростью  $w = d\phi/dz = \beta_0 - \beta_1$ . Для ступенчатого волокна с радиусом сердцевины  $\rho_0 = 3.5 \mu\text{m}$  и волновым параметром  $V = 3.6$  скорость движения дислокаций составляет  $w = 1.38 \cdot 10^4 \text{ m}^{-1}$ . В прямом физическом эксперименте регистрируется только дислокация  $\mathbf{e}_t$  компоненты поля с координатой  $R = R_1$ , поскольку наблюдаемой величиной является  $\mathbf{P}_z = \text{Re}(e_x h_y - e_y h_x)$  — компонента вектора Пойтинга. Способ измерения дислокации  $\mathbf{e}_z$  компоненты мы проанализируем отдельно.

2. Рассмотрим эволюцию углового момента импульса  $\mathbf{M}$  возмущенного  $CV_{+1}^+$  вихря. Электродинамический угловой момент импульса  $\mathbf{M}$  можно определить согласно формуле [1]:

$$\mathbf{M} = \mathbf{r} \times \mathbf{P}, \quad (6)$$

где

$$\mathbf{P} = \varepsilon_0 \mu_0 (\mathbf{e} \times \mathbf{h}^* + \mathbf{e}^* \times \mathbf{h})/2 \quad (7)$$

вектор Пойтинга. На основании работы [7] запишем компоненты магнитного поля  $\mathbf{h}$   $CV_{+1}^+$  вихря и  $HE_{11}^+$  моды в виде:

$$\mathbf{h} = -in_{co}(\varepsilon_0/\mu_0)^{1/2} \mathbf{e}. \quad (8)$$

Тогда, подставляя поля (1), (2), (8) в выражение (7), находим компоненты потока энергии возмущенного  $CV_{+1}^+$  вихря в маломодовом волокне:

$$P_\phi = -2K \left\{ F_1 G_1^- + a^2 F_0 G_0 + a(F_0 G_1^- + F_1 G_0) \cos(\phi - wz) \right\}, \quad (9)$$

$$P_r = 2Ka(F_0G_1^- - F_1G_0) \sin(\phi - wz), \quad (10)$$

$$K = 1/(2c^2)n_{co}(\varepsilon_0/\mu_0)^{1/2}(\sqrt{2\Delta V}). \quad (11)$$

Из выражения (9) легко определить  $z$  компоненту углового момента  $\mathbf{M}$  как

$$\mathbf{M}_z = \rho \mathbf{P}_\psi, \quad (12)$$

где  $\rho$  — текущий радиус поперечного сечения волокна. Линии тока векторного поля  $\mathbf{P}$  в волокне определим из уравнений [10]:

$$\frac{dx}{P_x} = \frac{dy}{P_y}, \quad \frac{dy}{P_y} = \frac{dz}{P_z}, \quad (13)$$

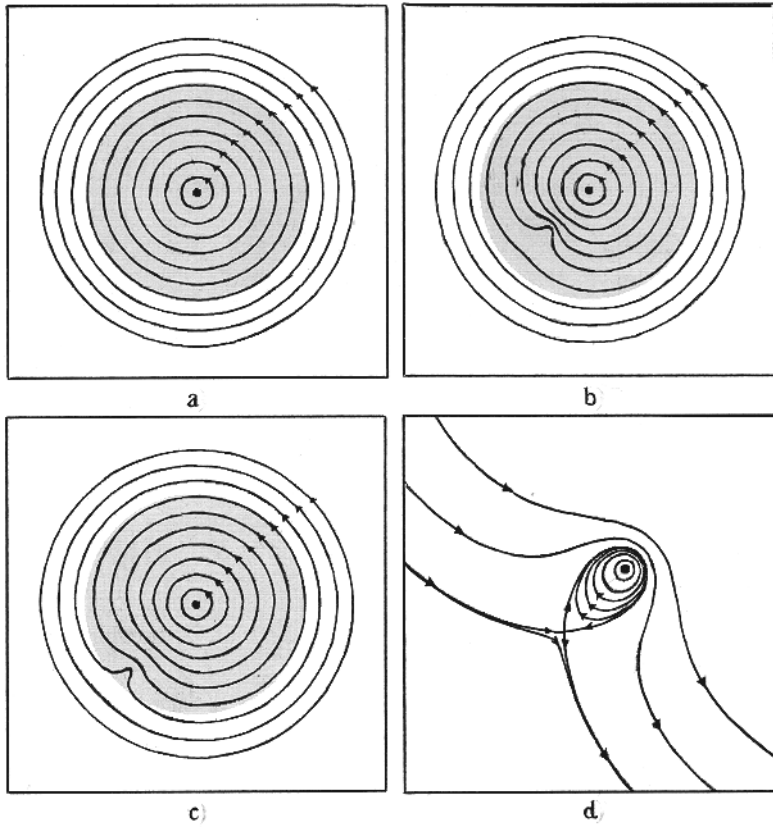
Особые точки картины линий тока в поперечном сечении волокна находятся из условий

$$\mathbf{P}_\phi = \mathbf{P}_r = 0, \quad (14)$$

откуда следует:

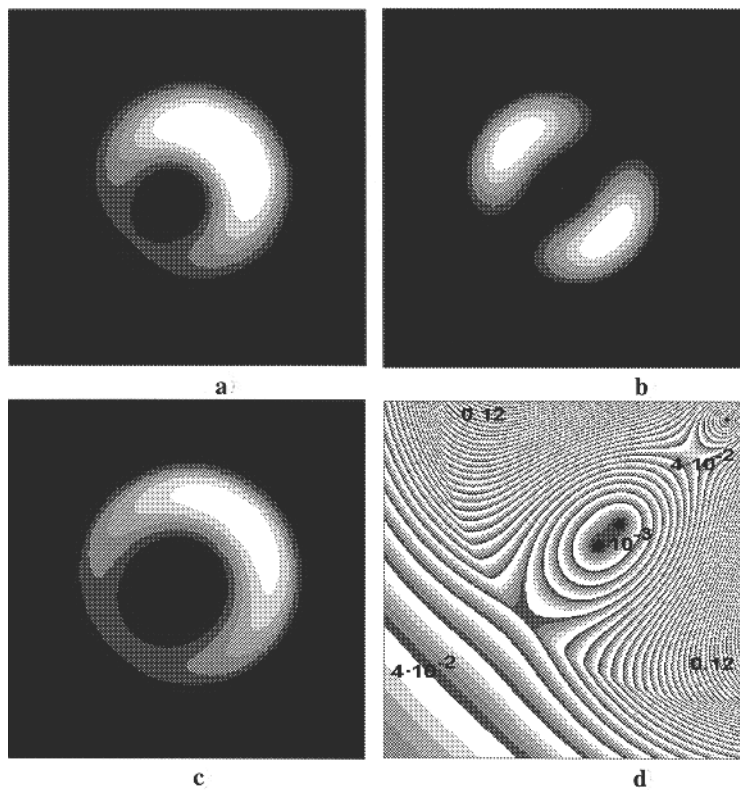
$$(F_1 - aF_0)(G_1^- - aG_0) = 0. \quad (15)$$

Уравнение (15) показывает, что таких особенностей будет три: при  $R = R_1$  — положение дислокации  $\mathbf{e}_r$ -компоненты и  $R = 0$ ,  $R = R_2$  — положение дислокаций  $\mathbf{e}_z$ -компоненты, а уравнение (15) является комбинацией (4) и (5). Точка  $R = 0$  соответствует центру основного азимутального потока; точка  $R = R_1$  — особая точка типа седло, в которой пересекаются ветви сепаратрисы и в которой локализуется чисто винтовая дислокация  $\mathbf{e}_z$  компоненты поля. В точке  $R = R_2$  располагается центр индуцированного вихря. Поскольку при отсутствии возмущения ( $a = 0$ ) особые точки поля вырождены в точке типа центр, а при действии возмущения ( $a \neq 0$ ) рождаются три особые точки, то  $CV_{+1}^+$  вихрь является структурно неустойчивым [11] по отношению к действию возмущения правоциркулярно поляризованной  $HE_{11}^+$  моды. Для ступенчатого волокна, параметры которого даны выше, картина силовых линий поперечного вектора Пойтинга  $\mathbf{P}_t$  приведена на рис. 1 при некоторых значениях параметра возмущения  $a$ . Для  $CV$  вихря в параболическом волокне  $\mathbf{P}_r = 0$  во всей области поперечного сечения, и  $R_1 = R_2$ . В этом случае картина линий тока  $P_t$  представляет собой концентрические кольца с центром в  $R = 0$ , совпадающая с картиной линий тока без возмущения (рис. 1,  $a$ ). Поэтому  $CV_{+1}^+$  вихрь параболического волокна является структурно устойчивым по



**Рис. 1.** Линии тока вектора Пойтинга  $\mathbf{P}$ , в поперечном сечении волокна  $\delta\beta_{21}z = \pi/4$ :  $a - a = 0$ ,  $b - a = 0.5$ ,  $c - a = 0.7$ ,  $d$  — окрестность индуцированного вихря,  $a = 0.5$ . Серым цветом обозначена сердцевина волокна.

отношению к возмущению  $\text{HF}_{11}^+$  модой. В ступенчатом волокне по мере возрастания параметра возмущения  $a$  растет область локализации индуцированного азимутального потока противоположного знака (рис. 1,  $b, c$ ). Особо отметим, что линии тока индуцированного вихря по своим формальным признакам аналогичны линиям тока, возникающим при обтекании невязкой жидкостью вращающегося цилиндра [12].



**Рис. 2.** Распределение в поперечном сечении волокна  $\delta\beta_{21}z = \pi/4$ :  $a$  —  $P_z$ ,  $b$  —  $P_r$ ,  $c$  —  $P_\phi$ ,  $d$  — линии уровня модуля поперечного потока  $P_t$  в окрестности индуцированного вихря (приведена нормированная величина  $P_t/P_{t(\max)}$ ).

На рис. 2 представлены картины распределения энергии в  $P_z$ ,  $P_\phi$  и  $P_r$  потоках для ступенчатого волокна при соответствующих значениях параметра возмущения  $a$ .

Численный расчет показывает, что отношение абсолютных величин интегрального потока  $\alpha = |P_t|/|P_z| = 4.32 \cdot 10^{-2}$  для ступенчатого волокна и  $\alpha = 4.88 \cdot 10^{-2}$  для градиентного волокна. С ростом возмущения доля азимутального потока снижается, так при  $a = 0.5$   $\alpha = 3.7 \cdot 10^{-2}$  и

достигает насыщения  $\alpha = 2.58 \cdot 10^{-2}$  при  $a > 8$ . Можно показать, что возмущение  $CV_{+1}^+$  вихря левациркулярно поляризованной  $He_{11}^-$  модой не снимает вырождения особых точек и поле вихря остается структурно устойчивым к действию возмущения. Исследования возмущения  $CV_{-1}^-$  вихря  $HF_{11}$  модой дали идентичные результаты.

Проекция момента импульса невозмущенного  $CV_{+1}^+$  вихря на ось  $z$  записывается как  $M_z = -2K\rho F_1 G_1^-$ . Выражая функцию  $G_1^-$  через  $F_1$ , согласно [7], находим:

$$M_z = -2K\rho \left( \frac{1}{2} \frac{dF_1^2}{dR} - \frac{F_1^2}{R} \right). \quad (16)$$

$CV_{+1}^+$  вихрь имеет правоциркулярную поляризацию  $\hat{e}^+$  и переносит топологический заряд  $e = +1$ . Как циркулярной поляризации вихря, так и его топологическому заряду соответствует некоторый угловой момент. Согласно работе [3], угловой момент вихря в свободном пространстве можно разделить на орбитальный момент  $\mathbf{M}_e$ , связанный с величиной топологического заряда  $e$ , и спиновой момент  $\mathbf{M}_s$ , связанный с циркулярной поляризацией. Сравнивая выражение (16) с выражением (10) работы [3], можно для маломодового волокна условно разделить момент импульса на спиновую часть (первый член в (16)) и орбитальную часть (второй член в (16)).

Распространение циркулярно поляризованных CV вихрей представляется как вкручивание по правилу винта геликоидального волнового фронта в сердцевину волокна. Для линейно поляризованных вихрей свободного пространства характерно поступательное перемещение (без вращения) геликоида волнового фронта.

## Список литературы

- [1] Соколов А.А. Введение в квантовую электродинамику. М.: ГИФМЛ, 1958. 536 с.
- [2] Гайтлер В. Квантовая теория излучения. М.: ИЛ, 1956. 492 с.
- [3] Allen L., Beijersbergen M.W., Spreeuw R.J.C. // Phys. Rev. A. 1992. V. 45. N 11. P. 8185–8189.
- [4] He H., Heckenberg N.R., Rubinsztein-Dunlop H. // J. Mod. Opt. 1995. V. 42. N 1. P. 217–223.
- [5] He H., Friese M.E., Heckenber N.R. // Phys. Rev. Lett. 1996. V. 75. N 5. P. P. 826–829.

- [6] Воляр А.В., Фадеева Т.А. // Письма в ЖТФ. Т. 22. В. 17. С. 69–74.
- [7] Снайдер А., Лав Дж. Теория оптических волноводов. М.: Радио и связь, 1987. 656 с.
- [8] Воляр А.В., Фадеева Т.А. // Письма в ЖТФ. Т. 22. В. 8. С. 63–67.
- [9] Basistiy I.V., Bazhenov V.Yu., Soskin M.S., Vasnetsov M.V. // Opt. Comm. 1993. V. 103. P. 422–428.
- [10] Зельдович Я.Б., Мышкис А.Д. Элементы прикладной математики. М.: Наука, 1965. 616 с.
- [11] Постон Е., Стюарт И. Теория катастроф и ее приложения. М.: Мир, 1980. 607 с.
- [12] Жермен П. Механика сплошных сред. М.: Мир, 1965. 253 с.